

**МЕХАНИКА  
ТВЕРДОГО ТЕЛА  
№ 2 • 2002**

УДК 539.3

© 2002 г. С.А. БАРСУКОВ, Е.В. ГЛУШКОВ, Н.В. ГЛУШКОВА

**СИНГУЛЯРНОСТЬ НАПРЯЖЕНИЙ В УГОЛОВЫХ ТОЧКАХ  
ФРОНТА ТРЕЩИНЫ, НАХОДЯЩЕЙСЯ НА ГРАНИЦЕ РАЗДЕЛА  
ДВУХ СРЕД**

Разработанный ранее для клиновидных штампов [1] и трещин [2] и обобщенный для произвольных многогранных углов [3] метод выделения сингулярных составляющих линейно-упругого решения в окрестности угловых точек тела применяется для исследования особенностей поля напряжений в окрестности угловых точек фронта трещин, расположенных в плоскости соединения двух разнородных материалов. Метод основан на сведении с помощью преобразования Меллина эталонных трехмерных краевых задач к спектральным задачам для одномерного интегрального оператора. В рамках данного подхода выведен вид интегрального оператора для рассматриваемой задачи, осуществлена компьютерная реализация метода и проведен численный анализ зависимости характеристик сингулярного разложения как от раствора угла трещины, так и от соотношения упругих свойств материалов.

В соответствии с общими представлениями поведения обобщенного (вариационного) решения краевых эллиптических задач в окрестности угловых точек границы тела [4, 5], асимптотика пространственного поля упругих напряжений  $\tau$  может быть записана в следующем виде:

$$\tau(x) \sim \sum_n K_n f_n(\varphi, \vartheta) r^{-\gamma_n}, \quad r \rightarrow 0 \quad (1)$$

$$c > \operatorname{Re} \gamma_1 > \operatorname{Re} \gamma_2 > \dots > \operatorname{Re} \gamma_n > \dots$$

Здесь  $r$  – расстояние до рассматриваемой угловой точки,  $\gamma_n$  – показатели, определяющие поведение решения в зависимости от  $r$  (показатели сингулярности напряжений при  $\operatorname{Re} \gamma_n > 0$ ),  $f_n$  – функции углового распределения напряжений вокруг вершины, зависящие от углов  $\varphi, \vartheta$  в некоторой локальной сферической системе координат  $(r, \varphi, \vartheta)$ ,  $K_n$  – коэффициенты интенсивности напряжений. Значение константы  $c$ , являющейся верхней границей допустимых значений  $\gamma_n$ , вытекает из дополнительных ограничений, накладываемых на решение задачи. Из используемого обычно в теории упругости принципа конечности энергии упругих деформаций в двумерном случае (ребро упругого клина) следует  $c = 1$ , а в пространственном ( $M$ -гранная вершина,  $M \geq 3$ )  $c = 3/2$ .

Показатели  $\gamma_n$  и угловые функции  $f_n$  являются однократными точками спектра и соответствующими собственными решениями некоторой эталонной краевой задачи, формулируемой для окрестности угловой точки. Для  $m$ -кратных точек спектра в (1) появляются дополнительные слагаемые с сомножителями  $\ln^p r$  ( $p = 1, \dots, m - 1$ ). В плос-

ком случае показатели  $\gamma_n$  совпадают с корнями характеристического трансцендентного уравнения, а угловые функции  $f_n(\phi)$  могут быть выписаны в явном виде. В пространственном же ( $M \geq 3$ ) их определение представляет собой самостоятельную сложную математическую проблему.

Обзор методов, используемых для ее решения дан, в частности, в работах [2, 3]. Это как прямые численные методы, требующие мощной вычислительной техники (метод конечных или граничных элементов (МКЭ/МГЭ), конечные разности и др.), так и впервые предложенный для клиновидного штампа [1, 6] полуаналитический подход, основанный на сведении с помощью преобразования Меллина двумерных граничных интегральных уравнений (ГИУ) к спектральной задаче для одномерных интегральных операторов. Хотя данный подход и связан с использованием довольно сложного математического аппарата, итоговые расчеты не требуют ощутимых вычислительных затрат, а полученные в результате компьютерные программы нахождения параметров разложения (1) могут быть встроены в МКЭ/МГЭ пакеты в качестве специальных угловых сингулярных элементов, избавляющих от необходимости измельчать сетку в окрестности угловых точек, снижающих общие вычислительные затраты и повышающих точность определения коэффициентов интенсивности напряжений.

Определение концентрации напряжений в окрестности интерфейской трещины играет важную роль при анализе прочности соединений (отслоений в композитах, металлокерамике, kleевых соединениях и др.), а также при разработке эффективных математических моделей процесса ультразвукового неразрушающего контроля соединений.

В декартовой системе координат  $x = (x, y, z)$  рассматриваются два упругих изотропных полупространства  $-\infty \leq x, y \leq \infty, z > 0$  и  $-\infty \leq x, y \leq \infty, z < 0$ , сцепленных вдоль поверхности  $z = 0$  всюду кроме тонкого разреза (трещины), занимающей в этой плоскости клиновидную область  $\Omega$  с раствором угла  $2\theta$ . В полярных координатах  $x = r \cos \varphi, y = r \sin \varphi$  область  $\Omega$  задается соотношениями  $0 \leq r \leq \infty, -\theta \leq \varphi \leq \theta$ .

Предполагается, что в зоне соединения  $((x, y) \notin \Omega, r = 0)$  поле перемещений  $u(x)$  и напряжений  $\tau(x) = \{\tau_{xz}, \tau_{yz}, \sigma_z\}$  – непрерывно, а в области  $\Omega$  берега трещины свободны от напряжений ( $\tau = 0$  при  $(x, y) \in \Omega, z = 0$ ). Упругие свойства материалов задаются коэффициентами Пуассона  $\nu_i$  и модулями сдвига  $\mu_i$  для верхнего ( $i = 1$ ) и нижнего ( $i = 2$ ) полупространств.

В результате некоторого внешнего воздействия (объемные силы, градиент температур, растягивающие усилия на бесконечности и т.п.) в соединении без трещины возникает непрерывное поле перемещений  $u_0(x)$  и напряжений  $\tau_0(x)$ . Наличие трещины приводит к появлению дополнительного разрывного в области  $\Omega$  поля перемещений  $u_1(x)$  и соответствующих ему напряжений  $\tau_1(x)$ , которые обеспечивают выполнение граничных условий на берегах трещины:  $\tau_0 + \tau_1 = 0$  при  $(x, y) \in \Omega, z = 0$ . В силу граничных условий поле  $\tau_1(x)$  непрерывно всюду, кроме угловой точки  $r = 0$ , в окрестности которой для него справедливо представление (1). Изолированные особенности, удовлетворяющие условию конечности потенциальной энергии деформации, являются допустимыми, если под  $u = u_0 + u_1$  понимается обобщенное решение соответствующей краевой задачи [7]. Цель настоящей работы – создание эффективного метода определения характеристик разложения (1) для рассматриваемого случая интерфейсных трещин и анализ основных отличий их поведения от случая трещины в однородном материале, рассмотренного в [2].

Как известно, показатели  $\gamma_n$  и угловые функции  $f_n$  зависят только от локальных свойств материала и геометрии в окрестности вершины угловой точки [4, 5]. Поэтому рассматриваемая задача является эталонной (канонической) для произвольной интерфейской трещины, имеющей на фронте угловую точку, с раствором угла  $2\theta$  между касательными к фронту. Параметры же материалов и форма тела и трещины вне

малой окрестности вершин угла, как и величина внешней нагрузки  $\tau_0(x)$  влияют только на коэффициенты интенсивности  $K_n$ . Они могут быть определены путем спи-вания разложений (1) с глобальным численным решением задачи. При этом оптимальным представляется такой способ дискретизации и проведения расчетов, при котором данные разложения с неизвестными коэффициентами  $K_n$  играют роль специальных угловых элементов. В этом смысле решение рассматриваемой эталонной задачи представляет интерес для существенно более широкого круга проблем. Так, например, наряду с анализом прочности и разрушения оно может быть полезно и для построения эталонных полей упругих волн, рассеиваемых угловыми точками, необходимых для создания корректных в смысле общей теории дифракции математических моделей процесса ультразвуковой дефектоскопии конструкций.

Исходным для сведения рассматриваемой краевой задачи в системе интегральных уравнений является хорошо известное представление решения для упругого полу-пространства, находящегося под действием поверхностной нагрузки  $\tau|_{z=0} = q(x, y)$ , через матрицу Грина  $k(x)$  [8]:

$$u^\pm = \mathcal{K}^\pm q \equiv \int_{-\infty}^{\infty} \int k^\pm(x - \xi, y - \eta, z) q(\xi, \eta) d\xi d\eta \quad (2)$$

Здесь и далее знаком плюс отмечены величины, относящиеся к верхнему полу-пространству  $z \geq 0$ , а минус – к нижнему  $z \leq 0$ .

Матрицы Грина  $k^\pm$  выражаются через Фурье-символы  $K^\pm(\alpha_1, \alpha_2, z)$ :

$$k^\pm(x) = \frac{1}{4\pi^2} \int_{-\infty}^{\infty} K^\pm(\alpha_1, \alpha_2, z) e^{-i(\alpha_1 x + \alpha_2 y)} d\alpha_1 d\alpha_2 \quad (3)$$

которые для рассматриваемых изотропных полупространств имеют вид:

$$K^\pm(\alpha_1, \alpha_2, z) = \frac{e^{\mp i\alpha z}}{\mu\alpha} \begin{vmatrix} \frac{\alpha_1^2 z}{2\alpha} \mp 1 \pm \frac{v\alpha_1}{\alpha^2} & \left( \frac{z}{2\alpha} \pm \frac{v}{\alpha^2} \right) \alpha_1 \alpha_2 & \frac{\alpha_1 i}{2} \left( \mp z + \frac{1-2v}{\alpha} \right) \\ \left( \frac{z}{2\alpha} \pm \frac{v}{\alpha^2} \right) \alpha_1 \alpha_2 & \frac{\alpha_2^2 z}{2\alpha} \mp 1 \pm \frac{v\alpha_2}{\alpha^2} & \frac{\alpha_2 i}{2} \left( \mp z + \frac{1-2v}{\alpha} \right) \\ \frac{\alpha_1 i}{2} \left( \mp z - \frac{1-2v}{\alpha} \right) & \frac{\alpha_2 i}{2} \left( \mp z - \frac{1-2v}{\alpha} \right) & -\frac{\alpha}{2} \left( z \pm \frac{2(1-v)}{\alpha} \right) \end{vmatrix} \quad (4)$$

$$\alpha = \sqrt{\alpha_1^2 + \alpha_2^2}$$

Отметим, что предлагаемый подход применим и для случая анизотропных материалов. Для этого достаточно в дальнейших выкладках заменить матрицы (4) на аналогичные, полученные для требуемого типа анизотропии.

В силу разрывности рассеянного поля  $u_1(x)$  на разрезе  $\Omega$  и непрерывности  $\tau_1$ , из соотношения (2) следует

$$v(x, y) = [u_1^-(x) - u_1^+(x)]|_{z=0} = (\mathcal{K}^- - \mathcal{K}^+) q_1|_{z=0} \quad (5)$$

где  $q_1(x, y) = \tau_1|_{z=0}$ ,  $v$  – скачок поля  $u_1$  на разрезе  $\Omega$ .

Преобразование Фурье по горизонтальным координатам  $x, y$ :

$$\mathcal{F}[u] \equiv \int_{-\infty}^{\infty} \int u(x) e^{i(\alpha_1 x + \alpha_2 y)} dx dy = U(\alpha_1, \alpha_2, z)$$

переводит интегральные операторы  $\mathcal{K}^\pm q_1$ , являющиеся сверткой матриц-функций  $k^\pm$  и векторов  $q_1$ , в произведение их Фурье-символов:

$$U^\pm(\alpha_1, \alpha_2, z) = K^\pm(\alpha_1, \alpha_2, z) Q_1(\alpha_1, \alpha_2), \quad Q_1 = \mathcal{F}[q_1] \quad (6)$$

Аналогично, соотношение (5) дает связь между символами  $Q_1$  и  $V$ :

$$Q_1(\alpha_1, \alpha_2) = L(\alpha_1, \alpha_2)V(\alpha_1, \alpha_2) \quad (7)$$

$$L = [(K^- - K^+)_{z=0}]^{-1}, \quad V = \mathcal{F}[v]$$

Из граничных условий на поверхности трещины следует, что в области  $\Omega$  вектор-функция  $q_1$  известна

$$q_1(x, y) = \tau_1|_{z=0} = -\tau_0|_{z=0} \quad (x, y) \in \Omega$$

поэтому с помощью обратного преобразования Фурье  $\mathcal{F}^{-1}$  функционально-матричное соотношение (7) сводится к интегральному уравнению типа Винера – Хопфа относительно неизвестного скачка смещений  $v$ :

$$\int_{\Omega} l(x - \xi, y - \eta)v(\xi, \eta)d\xi d\eta = f(x, y), \quad (x, y) \in \Omega \quad (8)$$

$$l = \mathcal{F}^{-1}[L], \quad f = -\tau_0|_{z=0}$$

Предложенный в [1, 2] метод определения характеристик сингулярного решения основан на сведении с помощью преобразования Меллина по  $r = \sqrt{x^2 + y^2}$

$$M_s[f] = \int_0^\infty f(r)r^{s-1}dr = F(s), \quad M_s^{-1}[F] = \frac{1}{2\pi i} \int_{c-i\infty}^{c+i\infty} F(s)r^{-s}ds = f(r) \quad (9)$$

интегрального уравнения (8) с однородным символом ядра  $L(\alpha_1, \alpha_2) = \alpha\Phi(\beta)$  ( $\alpha = \sqrt{\alpha_1^2 + \alpha_2^2}$ ,  $\alpha_1 = \alpha \cos \beta$ ,  $\alpha_2 = \alpha \sin \beta$ ) к одномерному интегральному уравнению

$$\mathcal{L}_s V \equiv \int_{-\theta}^{\theta} L((s, \varphi - \psi)V(s-1, \psi))d\psi = F(s, \varphi), \quad -\theta \leq \varphi \leq \theta \quad (10)$$

относительно  $V(s-1, \psi) = M_{s-1}[v]$ .

Известно [1–3, 9], что показатели особенности напряжений  $\gamma_n$  совпадают с полюсами  $s_n$  преобразования Меллина  $T_1(s, \varphi, \vartheta) = M_s[\tau_1]$  рассматриваемой функции, лежащими в комплексной плоскости  $s$  левее контура интегрирования обратного преобразования  $M_s^{-1}$ , а угловые функции определяются вычетами в этих полюсах:  $K_n f_n = \text{res } T_1|_{s=s_n}$ . Проще всего получить вид  $T_1$  для зоны соединения материалов (в плоскости трещины  $z = 0$  или  $\vartheta = \pi/2$ ), так как по построению он определяется левой частью (интегральным оператором) уравнения (10) при  $\varphi \notin [-\theta, \theta]$ . Полюса элементов  $L(s, \varphi - \psi)$ , вносимые гамма-функциями рядов (14), являются устранимыми (иначе они были бы полюсами и правой части  $F(s, \varphi)$ ), поэтому искомые  $\gamma_n = s_n$ , где  $s_n$  – полюса неизвестной функции  $V(s-1, \psi)$ , совпадающие с точками спектра интегрального оператора  $\mathcal{L}_s$ . В результате в представлении (1) для  $\tau_1$ :

$$K_n f_n(\varphi, \pi/2) = \int_{-\theta}^{\theta} L(s_n, \varphi - \psi) \text{res } V(s-1, \psi)|_{s=s_n} d\psi, \quad \varphi \notin [-\theta, \theta]$$

Исходя из соотношений (2) аналогично могут быть получены и более общие представления  $T_1$  через  $V(s-1, \psi)$ , дающие  $f_n$  для всех  $\varphi, \vartheta$ . При этом возникают более сложные интегралы  $I_n$  с дополнительным сомножителем  $e^{-\alpha|z|}$  в подынтегральной функции (12). Их представление в виде рядов дано в [3].

Для рассматриваемого соединения изотропных материалов матрица  $\Phi(\beta)$  в пред-

ставлении  $L(\alpha_1, \alpha_2)$  имеет вид

$$\Phi(\beta) = \frac{1}{\Delta} \begin{vmatrix} 4(a-b)(bs^2 - a) + d^2 s^2 & -[4b(a-b) + d^2]cs & 2iadc \\ -[4b(a-b) + d^2]cs & 4(a-b)(bc^2 - a) + d^2 c^2 & 2iads \\ -2iadc & -2iads & -4a(a-b) \end{vmatrix}$$

$$\Delta = a(4(a-b)^2 - d^2)$$

$$a = 1/\mu_1 + 1/\mu_2, \quad b = v_1/\mu_1 + v_2/\mu_2, \quad d = (1-2v_1)/\mu_1 - (1-2v_2)/\mu_2$$

$$c = \cos \beta, \quad s = \sin \beta$$

В отличие от трещины в однородном пространстве, для которой  $d = 0$ , матрица  $L$  заполнена, т.е. система интегральных уравнений (8) не распадается на две независимые, как в [2]. Другим отличием настоящей работы является новая форма записи ядра интегрального уравнения в рядах, более удобная для реализации метода.

С использованием полярных координат  $(r, \phi), (\alpha, \beta)$  и  $\xi = \rho \cos \psi, \eta = \rho \sin \psi$  ядро интегрального уравнения (8) принимает вид

$$l(x - \xi, y - \eta) = \frac{1}{4\pi^2} \int_0^\infty \int_0^{2\pi} \int_0^\infty \int_0^{2\pi} \Phi(\beta) e^{-iar \cos(\phi-\beta)} e^{i\alpha \rho \cos(\psi-\beta)} d\beta d\alpha \quad (11)$$

Элементы матрицы  $\Phi$  зависят только от сомножителей  $\cos \beta$  и  $\sin \beta$ , поэтому ядро  $l$  может быть представлено в виде линейной комбинации интегралов

$$I_n = \frac{1}{4\pi^2} \int_0^\infty \int_0^{2\pi} \int_0^\infty \int_0^{2\pi} e^{in\beta} e^{-iar \cos(\phi-\beta)} e^{i\alpha \rho \cos(\psi-\beta)} d\beta d\alpha \quad (n = 0, \pm 1, \pm 2) \quad (12)$$

Для этого достаточно в  $\Phi$  заменить  $\cos \beta = (e^{i\beta} + e^{-i\beta})/2$  на  $(I_1 + I_{-1})/2$ ,  $\sin \beta$  на  $(I_1 - I_{-1})/2i$ ,  $\cos \beta \sin \beta$  на  $(I_2 - I_{-2})/4i$  и т.д.

Преобразование Меллина  $M_s[I_n]$  действует на экспоненты  $\exp[-iar \cos(\phi - \beta)]$ . Далее в силу свойства  $M_s[f(\alpha r)] = \alpha^{-s} F(s)$  интегралы по  $\alpha$  в (12) и по  $\rho$  в (8) также представляют собой преобразование Меллина с параметрами  $3 - s$  и  $s - 1$  от  $e^{i\alpha \rho \cos(\psi - \beta)}$  и  $v(\rho, \psi)$  соответственно, что приводит уравнение (8) к форме (10). Однако компоненты  $L(s, \phi - \psi)$  выражаются при этом через трехкратные интегралы, без упрощения которых преимущества метода сводятся на нет. Быстрой высокоеффективной численной реализации метода удается достичь, воспользовавшись представлением  $I_n$  в виде рядов с разделенными угловыми и радиальными переменными. Ключевую роль при этом играет разложение экспонент в ряд по функциям Бесселя [10]:

$$e^{-iar \cos(\phi-\beta)} = \sum_{m=-\infty}^{\infty} J_m(ar) e^{-im(\pi/2+\phi-\beta)} \quad (13)$$

$$e^{i\alpha \rho \cos(\psi-\beta)} = \sum_{l=-\infty}^{\infty} J_l(\alpha \rho) e^{il(\pi/2+\phi-\beta)}$$

Интегралы по  $\beta$  от произведения ряда (13) в силу ортогональности экспонент обращаются в нуль для всех слагаемых, кроме тех, у которых  $n + m - l = 0$ . В результате будем иметь

$$I_n = \frac{i^n}{2\pi} e^{in\phi} \sum_{m=-\infty}^{\infty} \int_0^\infty J_m(ar) J_{m+n}(\alpha \rho) \alpha^{p+1} d\alpha e^{-im(\phi-\psi)}$$

При использовании данной формы записи преобразование Меллина по  $r$  и далее по  $\alpha$  действует только на функции Бесселя в соответствии с правилом

$$M_s[J_m(r)] = 2^{s-1} \Gamma\left(\frac{m+s}{2}\right) / \Gamma\left(\frac{m-s+2}{2}\right) = G(m, s)$$

что приводит к представлению

$$M_s[I_n] = \rho^{s+1} I_n(s, \varphi, \psi), \quad I_n(s, \varphi, \psi) = \frac{i^n}{2\pi} e^{in\psi} \sum_{m=-\infty}^{\infty} g_m(s, n) e^{-im(\varphi-\psi)} \quad (14)$$

$$g_m(s, n) = G(s, m)G(2 + p - s, m + n)$$

Таким образом, вид ядра  $L(s, \varphi - \psi)$  интегрального уравнения (10) легко получить, заменив в  $\Phi(\beta)$  интегралы  $I_n$  вида (12) рядами  $I_n$  вида (14).

Для нахождения приближенных значений полюсов  $s_n$  проводится дискретизация интегрального уравнения (10) по схеме Бубнова – Галеркина. Неизвестная вектор-функция  $\mathbf{V}$  раскладывается по ортогональным полиномам Якоби с весом, учитывающим корневое поведение  $v(\rho, \psi)$  на границах области  $\Omega$  (при  $\psi \rightarrow \pm \theta$ ):

$$\mathbf{V}(s-1, \psi) = \sum_{k=0}^{\infty} \mathbf{c}_k(s) v_k(\bar{\psi}), \quad v_k = \sqrt{1 - \bar{\psi}^2} P_k^{(1/2, 1/2)}(\bar{\psi}), \quad \bar{\psi} = \psi / \theta \quad (15)$$

т.е. фактически по полиномам Чебышева второго рода [10]. Так как правая часть уравнения непрерывна по  $\varphi$ , его невязка проектируется на систему полиномов Лежандра  $w_l(\bar{\varphi}) = P_l(\bar{\varphi})$  ( $l = 0, 1, 2, \dots$ ),  $\bar{\varphi} = \varphi / \theta$ . В результате относительно неизвестных коэффициентов разложения  $\mathbf{c}_k$  возникает бесконечная линейная алгебраическая система

$$\sum_{k=0}^{\infty} a_{lk}(s) \mathbf{c}_k(s) = \mathbf{f}_l(s) \quad (16)$$

где  $a_{lk} = (\mathcal{L}_s v_k, w_l)_{L_2}$  – матрица  $3 \times 3$ ,  $\mathbf{f}_l = (\mathbf{F}, w_l)_{L_2}$  – векторы длины 3.

Очевидно, для получения блоков  $a_{lk}$  достаточно в матрице  $L(\alpha_1, \alpha_2)$  заменить ряды  $I_n$  вида (14) на ряды

$$\hat{I}_n(k, l) = \frac{i^n}{2\pi} \left[ \frac{1}{2} i_0(s, n) + \sum_{m=1}^{\infty} i_m(s, n) \right] \quad (17)$$

$$i_m(s, n) = g_m(s, n) d_m(n) + (-1)^n g_m(s, -n) d_m^*(-n)$$

$$d_m(n) = d_1(m+n, k) d_2(m, l)$$

$$d_1(m, k) = \int_{-1}^1 v_k(\bar{\psi}) e^{im\psi} d\bar{\psi}, \quad d_2(m, l) = \int_{-1}^1 w_l(\bar{\varphi}) e^{-im\varphi} d\bar{\varphi} \quad (18)$$

Искомые точки спектра  $s_n$  аппроксимируются нулями определителя урезанной матрицы  $A_N(s) = \|a_{lk}\|_{l,k=0}^N$ . Благодаря выбору координатных функций  $v_k, w_l$ , обеспечивающих требуемое поведение на границах интервала  $[-\theta, \theta]$ , сходимость метода по  $N$  достаточно быстрая. Значения показателей  $\gamma_n$  с двумя верными значащими цифрами для большинства  $\theta$  достигается уже при  $N = 6$ .

Основную сложность при проведении расчетов как обычно представляет медленная сходимость рядов  $\hat{I}_n(k, l)$ , особенно при малых  $\theta$ . Для ее преодоления используются асимптотические разложения интегралов (18) при  $m\theta \rightarrow \infty$  (вклад граничных точек), которые вместе с асимптотикой  $g_m \sim m/2 + O(m^{-1})$ ,  $m \rightarrow \infty$  позволяют выделить и просуммировать медленно сходящиеся составляющие рядов в явном виде.

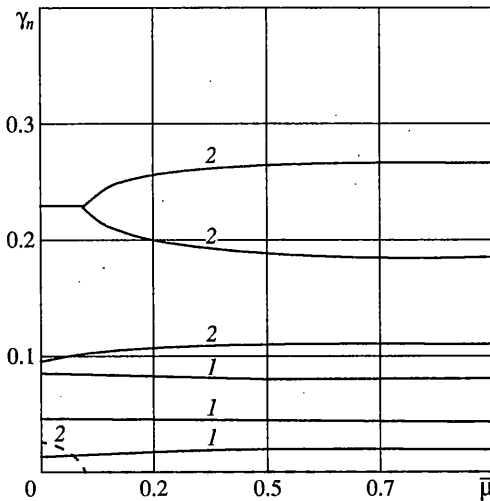
Разработанная программа позволяет быстро получать значения  $\gamma_n, \mathbf{f}_n$  для любых растворов угла  $\theta$  в диапазоне  $\theta_0 \leq \theta < \pi$ . Нижняя граница диапазона  $\theta_0$  зависит только от мощности компьютера, требуемой точности и допустимого времени счета (при

Таблица 1

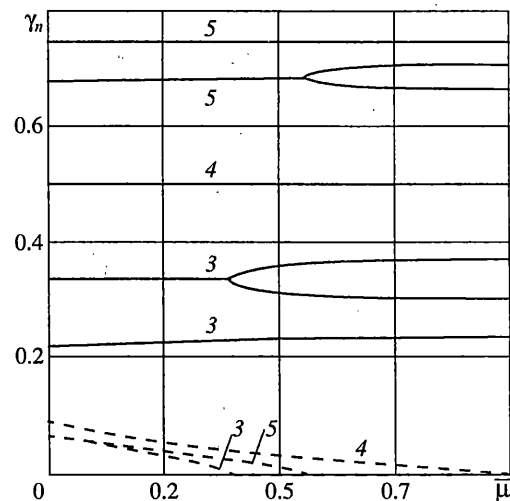
$\bar{\mu}$	2θ = 60	90	120	180	240	270	300
0	0.030	0.097	0.222	0.500	0.682	0.743	0.793
	0.143	0.230	0.337	0.500	0.621	0.679	0.739
	0.089	±0.029	±0.070	±0.094	±0.081	±0.068	±0.056
0.1	0.033	0.101	0.226	0.500	0.681	0.742	0.793
	0.142	0.231	0.337	0.500	0.622	0.681	0.741
	0.086	0.226	±0.053	±0.076	±0.065	±0.054	±0.044
0.25	0.035	0.105	0.230	0.500	0.680	0.742	0.793
	0.141	0.255	0.336	0.500	0.624	0.682	0.742
	0.084	0.199	±0.032	±0.055	±0.045	±0.037	±0.030
0.5	0.037	0.108	0.232	0.500	0.679	0.742	0.793
	0.140	0.263	0.356	0.500	0.624	0.683	0.743
	0.082	0.189	0.315	±0.031	±0.019	±0.012	±0.010
1	0.037	0.110	0.234	0.500	0.679	0.741	0.793
	0.140	0.266	0.367	0.500	0.606	0.664	0.727
	0.081	0.185	0.303	0.500	0.644	0.703	0.760

Таблица 2

$\bar{\mu}$	2θ = 60	90	120	180	240	270	300
0	0.030	0.097	0.222	0.500	0.682	0.743	0.793
	0.143	0.230	0.338	0.500	0.621	0.680	0.739
	0.090	±0.029	±0.070	±0.094	±0.081	±0.070	±0.056
0.1	0.028	0.093	0.218	0.500	0.684	0.746	0.796
	0.148	0.232	0.340	0.500	0.620	0.678	0.740
	0.088	±0.017	±0.063	±0.088	±0.074	±0.063	±0.051
0.25	0.027	0.090	0.214	0.500	0.686	0.749	0.799
	0.154	0.257	0.342	0.500	0.619	0.677	0.738
	0.086	0.214	±0.053	±0.079	±0.066	±0.055	±0.044
0.5	0.024	0.084	0.208	0.500	0.690	0.752	0.802
	0.162	0.276	0.345	0.500	0.618	0.676	0.737
	0.085	0.203	±0.038	±0.068	±0.055	±0.045	±0.036
1	0.021	0.076	0.199	0.500	0.694	0.758	0.807
	0.172	0.295	0.359	0.500	0.615	0.674	0.735
	0.083	0.194	0.338	±0.054	±0.038	±0.028	±0.022



Фиг. 1



Фиг. 2

уменьшении  $\Theta$  время счета увеличивается из-за удлинения рядов по  $m$ ). В данном случае при точности в три знака  $\Theta_0 \approx 0.05\pi$ .

В публикуемой работе приводятся только некоторые значения  $\gamma_n$  и графики, показывающие влияние соотношения упругих свойств материалов на характеристики сингулярности.

Во всем диапазоне изменения  $\Theta$ , как и для трещины в однородном материале, имеется три сингулярных (т.е. в полосе  $0 \leq \operatorname{Re} \gamma_n \leq 3/2$ ) значения  $\gamma_n$ , причем один из этих показателей (пусть это  $\gamma_1$ ) всегда вещественный (при  $\mu_1 = \mu_2$ ,  $v_1 = v_2$  он вырождается в показатель для нормальной компоненты), а два других, начиная с некоторой величины  $\Theta$ , сливаются в комплексно-сопряженную пару. В таблицах при этом во второй строке приводится  $\operatorname{Re} \gamma_2 = \operatorname{Re} \gamma_3$ , а в третьей  $\pm \operatorname{Im} \gamma_{2,3}$ .

В табл. 1 приводятся значения  $\gamma_n$ ,  $n = 1, 2, 3$  для фиксированного набора углов  $2\theta$  и соотношения модулей сдвига  $\bar{\mu} = \mu_1 / \mu_2$  при  $v_1 = v_2 = 0.3$ . Предельный случай  $\bar{\mu} = 0$  означает, что  $\mu_2 = \infty$ , т.е. нижнее полупространство является абсолютно жестким. Значения  $\gamma_n$  здесь те же, что и при действии жесткого клиновидного штампа, скрепленного с упругим полупространством со свойствами  $v_1$ ,  $\mu_1$ . Другими контрольными точками, использовавшимися при тестировании программы, являются значения  $\gamma_n$  при  $2\theta = 180^\circ$ , когда угловая точка сглаживается. Показатели  $\gamma_n$  становятся здесь такими же, как и для напряжений в окрестности гладкого участка фронта трещины, т.е. они легко определяются в рамках двумерной постановки для соответствующего составного клина. В частности, при  $\theta = 180^\circ$  имеем  $\operatorname{Re} \gamma_n = 0.5$  при всех  $\bar{\mu}$ . Значения  $\gamma_n$ , приведенные в табл. 2 для тех же  $\theta$  и  $\bar{\mu}$ , но при  $v_1 = 0.3$ ,  $v_2 = 0.5$ , показывают, как влияют на показатели особенности коэффициенты Пуассона материалов.

Зависимость показателей  $\gamma_n$  от раствора угла  $\theta$  качественно та же, что и для однородной среды: они монотонно возрастают от нулевого значения при  $\theta = 0^\circ$  до  $\operatorname{Re} \gamma_n = 1$  при  $\theta = 360^\circ$ . Характер зависимости  $\gamma_n$  от соотношения упругих модулей  $\bar{\mu}$  иллюстрируют графики  $\gamma_n(\bar{\mu})$  ( $n = 1, 2, 3$ ), приведенные на фиг. 1, 2 для  $v_1 = v_2 = 0.3$  и пяти фиксированных значений растворов угла  $2\theta = 45^\circ, 90^\circ, 120^\circ, 180^\circ, 270^\circ$  (1–5 соответственно;  $\operatorname{Re} \gamma_n$  – сплошные линии,  $\operatorname{Im} \gamma_n$  – штриховые). Графики показывают, что соотношение  $\bar{\mu}$  влияет на  $\gamma_n$  не так значительно как  $\theta$ . Основным изменением здесь яв-

ляется преобразование комплексно-сопряженных пар в два вещественных показателя при определенном значении  $\bar{\mu} = \bar{\mu}_0(\theta)$ .

Работа поддержана грантами РФФИ № 97-01-00429, № 00-01-96018 и № 00-01-96020.

### СПИСОК ЛИТЕРАТУРЫ

1. Бабешко В.А., Глушков Е.В., Глушкова Н.В. Об особенностях в угловых точках пространственных штампов в контактных задачах // Докл. АН СССР. 1981. Т. 257. № 2. С. 289–294.
2. Глушков Е.В., Глушкова Н.В. Об особенностях поля упругих напряжений в окрестности вершины клиновидной пространственной трещины // Изв. РАН. МТТ. 1992. № 4. С. 82–86.
3. Glushkov E., Glushkova N., Lapina O. 3D elastic stress singularity at polyhedral corner points // Intern. J. Solids and Structures. 1999. V. 36. № 8. P. 1105–1128.
4. Кондратьев В.А. Краевые задачи для эллиптических уравнений в областях с коническими и угловыми точками // Тр. Моск. мат. о-ва. 1967. Вып. 16. С. 209–292.
5. Мазья В.Г., Пламеневский Б.А. О коэффициентах в асимптотике решений эллиптических краевых задач вблизи ребра // Докл. АН СССР. 1976. Т. 229. № 1. С. 33–36.
6. Александров В.М., Бабешко В.А. О давлении на упругое полупространство штампа клиновидной формы в плане // ПММ. 1972. Т. 36. С. 88–93.
7. Михлин С.Г. Вариационные методы в математической физике. М.: Наука, 1970. 512 с.
8. Ворович И.И., Александров В.М., Бабешко В.А. Неклассические смешанные задачи теории упругости. М.: Наука, 1974. 455 с.
9. Евграфов М.А. Аналитические функции. М.: Наука, 1968. 471 с.
10. Бейтмен Г., Эрдейн А. Высшие трансцендентные функции. Т. 2. М.: Наука, 1974. 295 с.
11. Диткин В.А., Прудников А.П. Интегральные преобразования и операционное исчисление. М.: Наука, 1974. 542 с.

Краснодар

Поступила в редакцию

17.12.1999